

Figure 15 – Résultats des propriétés ferro-magnétiques du sous-sol aux 3 profondeurs d’investigation sur le site 2.

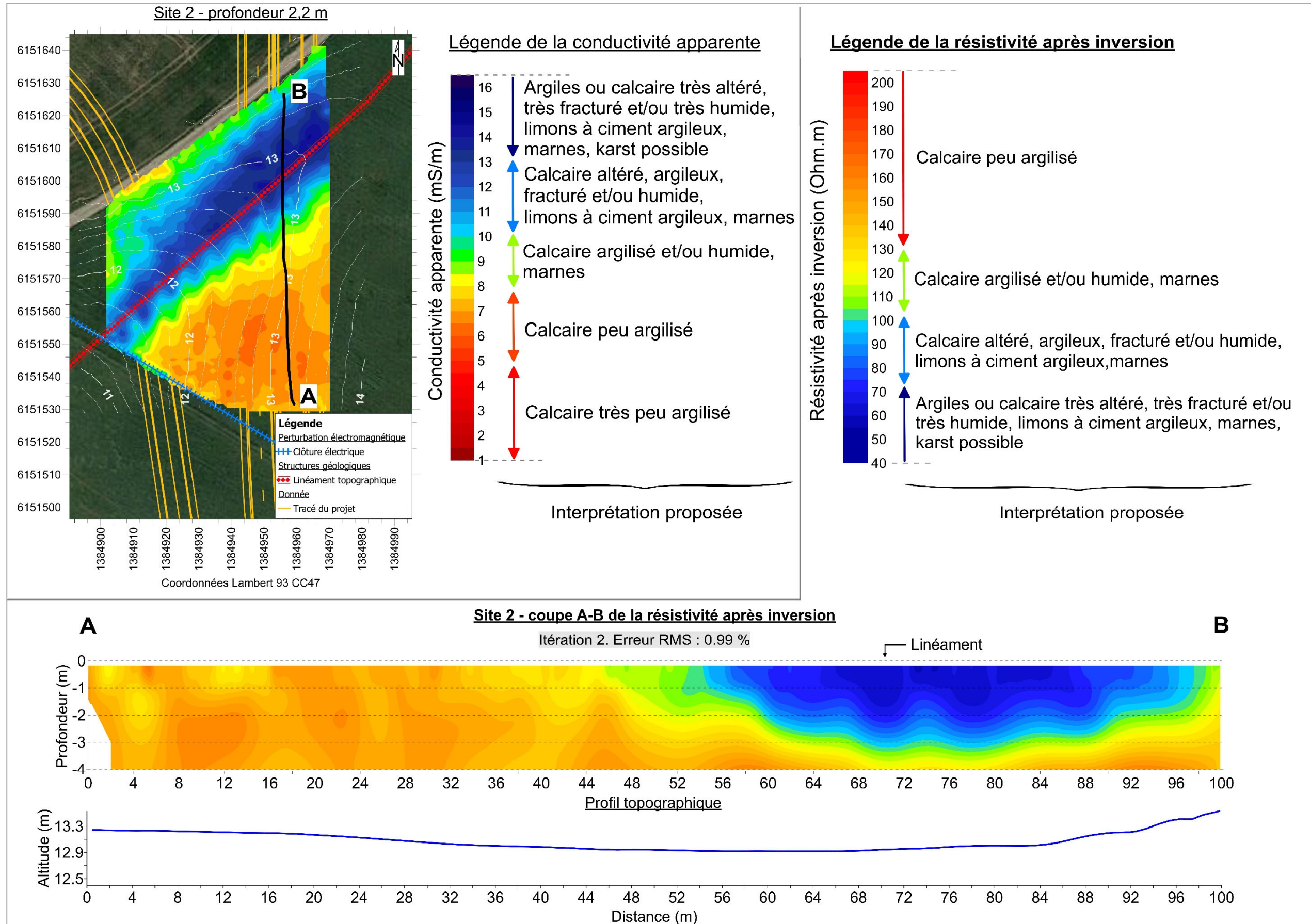


Figure 16 – Coupe de la résistivité après inversion sur le site 2.

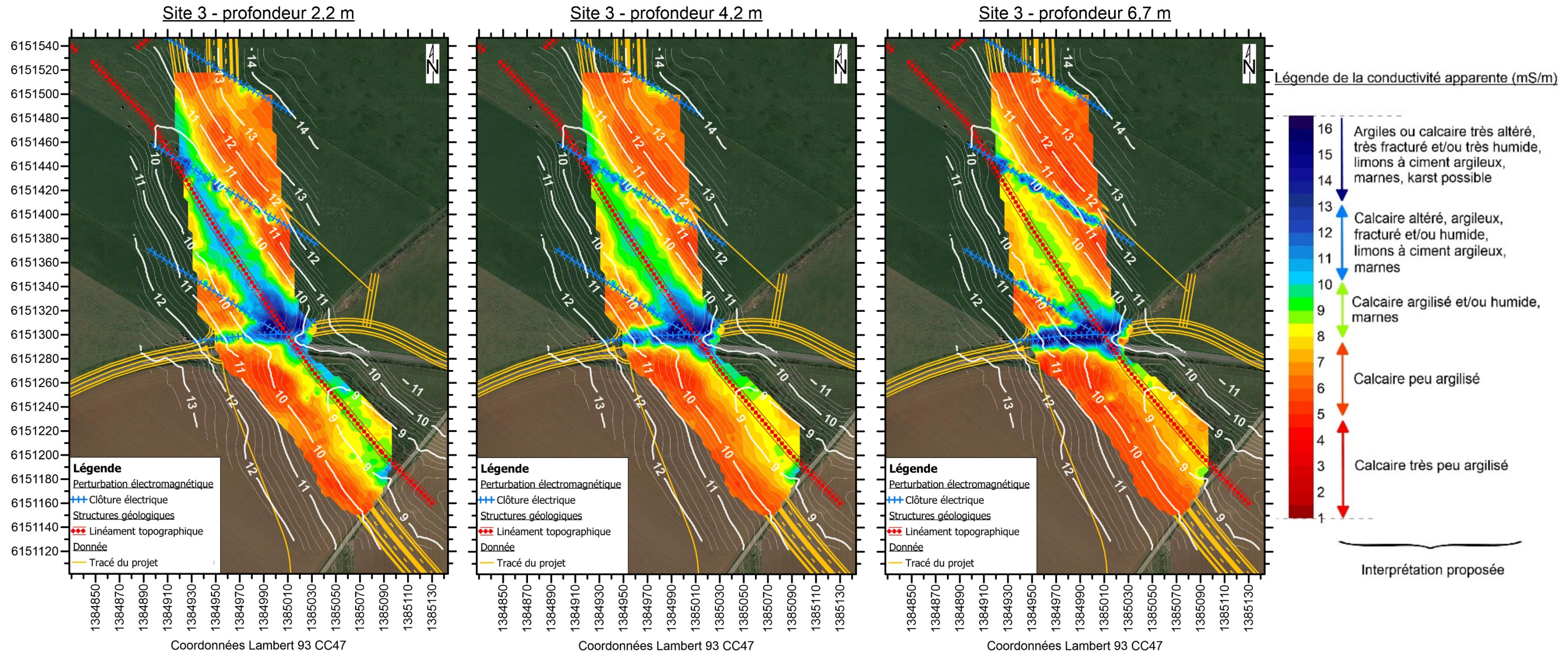


Figure 17 – Résultats de la conductivité apparente aux 3 profondeurs d’investigation sur le site 3.

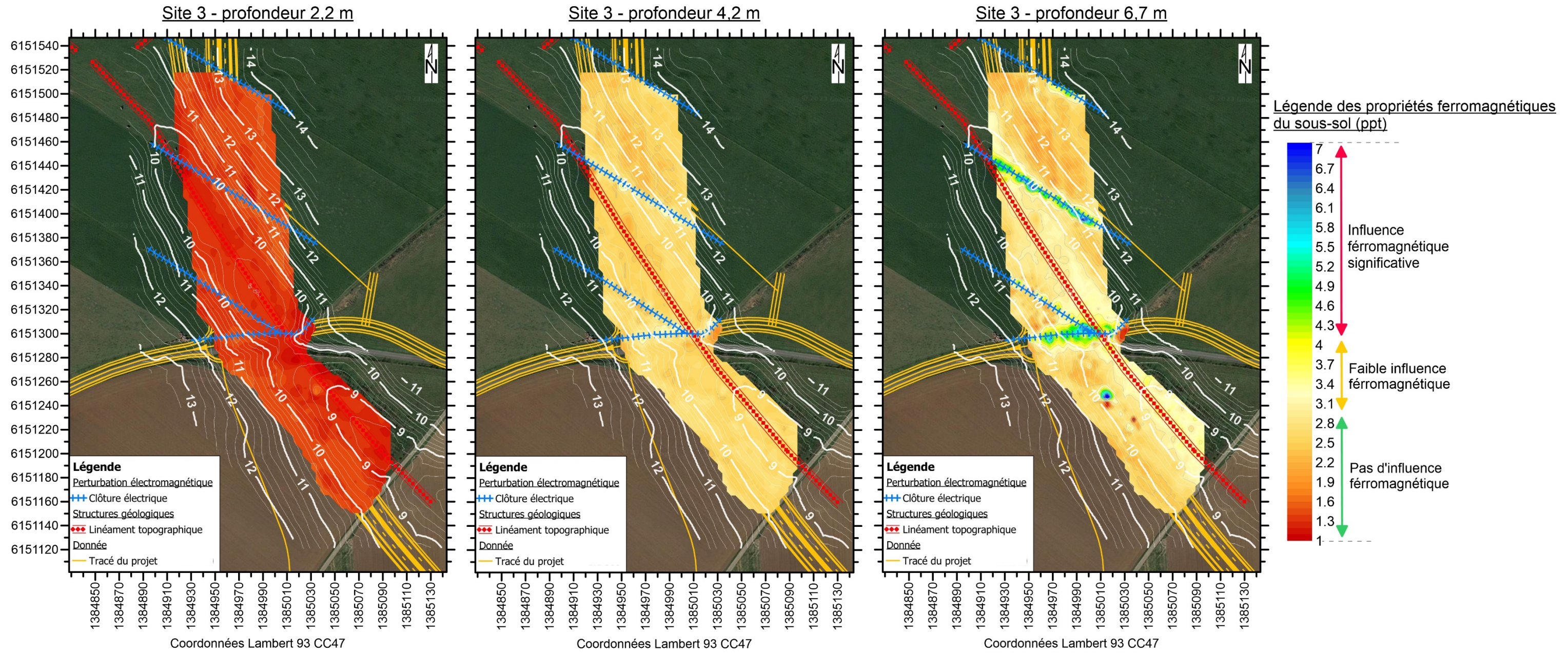


Figure 18 – Résultats des propriétés ferro-magnétiques du sous-sol aux 3 profondeurs d’investigation sur le site 3.

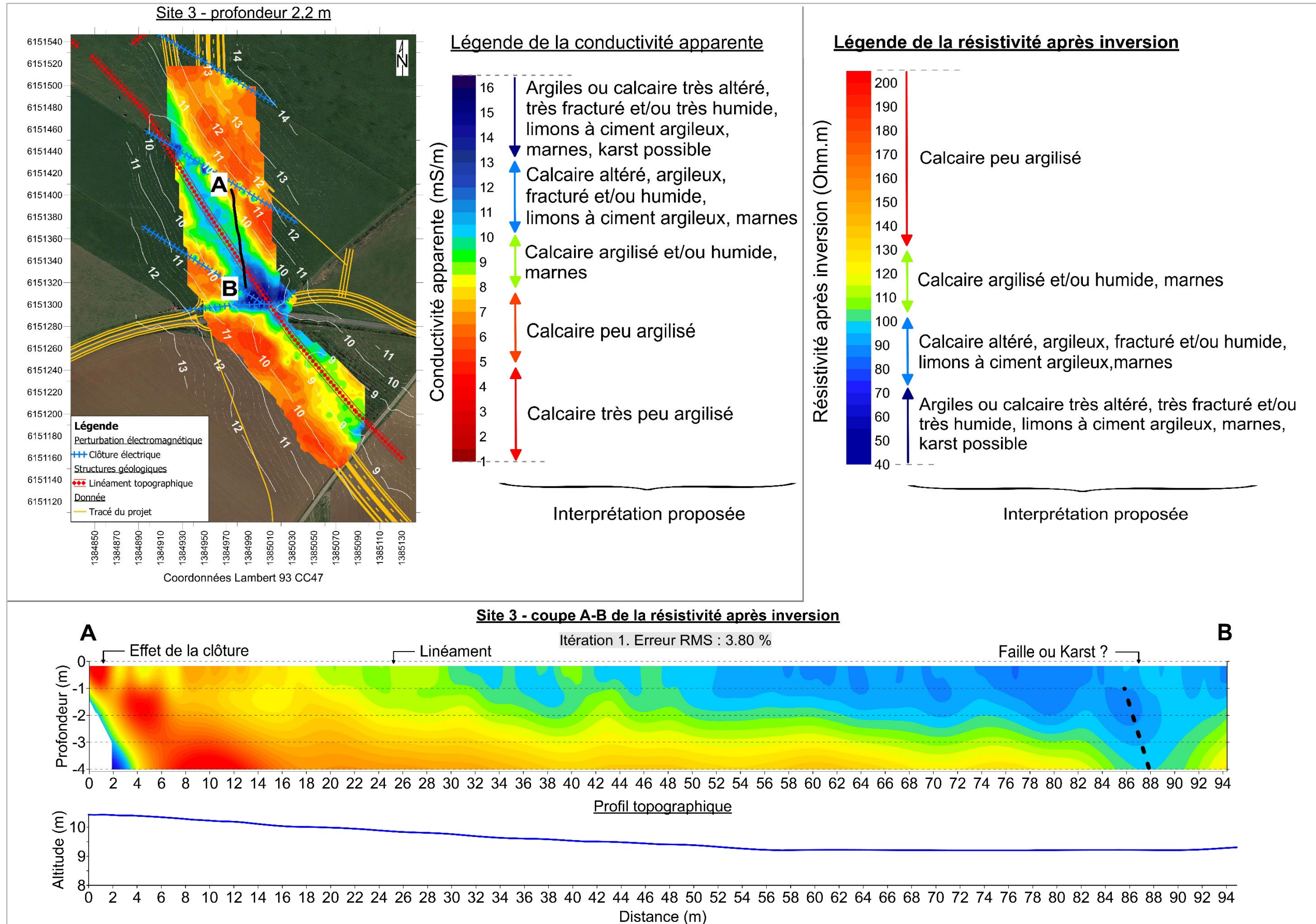


Figure 19 – Coupe de la résistivité après inversion sur le site 3.

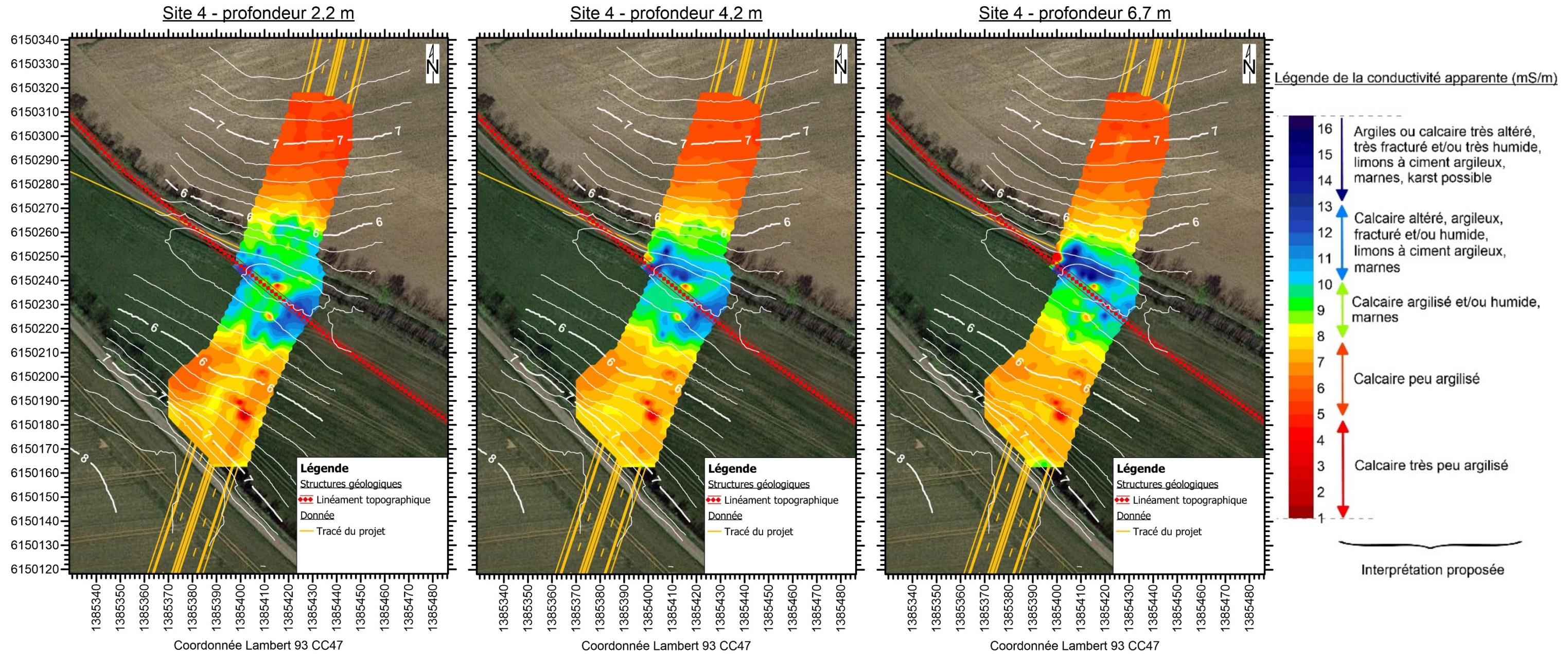


Figure 20 – Résultats de la conductivité apparente aux 3 profondeurs d’investigation sur le site 4.